

# سنگ‌شناسی و ژئوشیمی توده‌های گرانتوییدی شمال باختر تاکستان

محمد فودازی<sup>۱</sup>، حسین شیخی کاریزکی<sup>۲</sup> و مریم قلی‌پور<sup>۳</sup>

<sup>۱</sup> استادیار، گروه زمین‌شناسی، دانشگاه آزاد اسلامی واحد اسلامشهر، تهران، ایران

<sup>۲</sup> استادیار، گروه زمین‌شناسی، دانشکده علوم پایه، دانشگاه آزاد اسلامی واحد تهران شمال، تهران، ایران

<sup>۳</sup> کارشناسی ارشد، گروه زمین‌شناسی، دانشکده علوم پایه، دانشگاه آزاد واحد تهران شمال، تهران، ایران

تاریخ پذیرش: ۱۳۹۲/۰۷/۰۶ | تاریخ دریافت: ۱۳۹۱/۱۱/۱۶

## چکیده

توده‌های نفوذی رخنمون یافه در شمال باختر تاکستان در مطالعات سنگ‌نگاری و ژئوشیمیابی دارای ترکیب گرانتیت، گرانودیبوریت، تونالیت، مونزودیبوریت، کوارتزیت، کوارتزمنزوزنیت، مونزونیت، کوارتزمنزوزنیت و دیبوریت هستند. سنگ‌های این توده از نظر درجه اشباع شدگی از آلومین اغلب متألومنین هستند و مagmaهای تشکیل دهنده آنها بیشتر ماهیت کالکوآلکالن و کالکوآلکالن پاتاسیم بالا و شوشوونیتی نشان می‌دهند. ماهیت شوشوونیتی این سنگ‌های تواند ناشی از دگرسانی هایی باشد که تحت تأثیر نفوذ محلول‌های گرمابی رخ داده و سبب افزایش برخی از عناصر متخرک از جمله پاتاسیم شده است. محیط زمین‌ساختی این توده‌های گرانتوییدی براساس ژئوشیمی عناصر اصلی محدوده‌های پس از برخورد (Late Orogenic) و بالا آمدگی پس از برخورد (Post collision uplift) (IAG + CAG + CCG) و بر اساس ژئوشیمی عناصر کمیاب گرانتوییدهای کمان آشفشاری (VAG) و گرانتوییدهای برخوردی (VAG+ syn + COLG) بهویژه گرانتوییدهای پس از برخورد (Post Collision Granitoind) را نشان می‌دهد. براساس الگوهای به دست آمده از بهنجراسازی با کندریت، سنگ‌های گرانتوییدی تاکستان اعم از نمونه‌های دارای ترکیب میانه تا اسیدی، غنی شدگی از خاک‌های می‌دهد. کمیاب سبک (LREE) مانند La,Ce,Pr نسبت به خاک‌های کمیاب سنگین (HREE) از جمله Tm,Yb,Lu را نشان می‌دهند. بی‌هنجری منفی و ناجیز عنصر Eu افزون بر این که نشان دهنده حاکم بودن شرایط احیایی در مagma است، ورود این عنصر دو ظرفیتی به ساختمان فلدسپارها به ویژه پلاژیوکلازها را نشان می‌دهد. الگوی بهنجر شده این گرانتوییدها با ORG غنی شدگی آنها را از عناصر HFS (Nb,Zr) و عناصر خاکی کمیاب سنگین HREE مانند Y,Yb (K,Rb,Ba) LILE در برابر عناصر می‌دهد، این الگو مشابه الگوی گرانتوییدهایی است که در محیط مشابه با گرانتوییدهای کمان‌های ماگمایی (VAG) تشکیل شده‌اند.

**کلیدواژه‌ها:** گرانتوییدهای کمان ماگمایی، گرانتوییدهای پس از برخورد، کالکوآلکالن پاتاسیم بالا.

**نویسنده مسئول:** محمد فودازی\*

E-mail: foudazi.m@gmail.com

## ۱- پیش‌نوشتار

این پژوهش بخشی از پلوتونیسم ترشیری شمال باختر تاکستان را در بر می‌گیرد، بر اساس تقسیم‌بندی ساختاری ایران (Stocklin, 1968) منطقه مورد مطالعه در زون جنوبی - مرکزی، در تقسیم‌بندی نبوی (۱۳۵۵) در زون البرز، و در تقسیم‌بندی افتخارنژاد (۱۳۵۹) در زون البرز باختزی قرار گرفته است. توده‌های نفوذی مورد مطالعه در نقشه ۱:۲۵۰۰۰ تاکستان (Annells et al., 1985) ریولیت پورفیری، و در نقشه ۱:۱۰۰۰۰ تاکستان (علایی مهابادی و فنودی, ۱۳۷۱) به درستی گرانتیت - گرانودیبوریت در نظر گرفته شده‌اند (شکل ۱).

در اطراف توده‌های نفوذی مورد مطالعه تحت تأثیر محلول‌های گرمابی در برخی موارد دگرسانی‌های اپیدوتی، کلریتی، سیلیسی، آرژیلی و آلونیتی رخ داده است (شکل ۲)، در زیر به بررسی دقیق‌تر این توده‌های نفوذی به لحاظ سنگ‌نگاری، سنگ‌شناسی، و ژئوشیمی پرداخته می‌شود:

مطالعه جامع سنگ‌شناسی یک منطقه نیازمند نمونه‌برداری دقیق از نمونه‌های سنگی است، بنابراین در مطالعات صحرایی با استفاده از نقشه زمین‌شناسی و تصویر ماهواره‌ای و دستگاه GPS از این توده‌های نفوذی نمونه‌برداری انجام گرفت و نمونه‌های برش نازک آنها با استفاده از میکروسکوپ پلاریزان به لحاظ بافت‌شناسی و سنگ‌نگاری مطالعه شدند.

## ۲- سنگ‌نگاری

### ۲-۱. گرانیت - گرانودیبوریت

این سنگ‌ها بافت گرانولار و پوپی کلیتیک نشان می‌دهند و ترکیب کانی‌شناسی آنها در بردارنده بلورهای پلاژیوکلاز، پیروکسن، آلکالی فلدسپار، کانی‌مافیک است. آنها در بردارنده بلورهای کوارتز، پلاژیوکلاز، آلکالی فلدسپار، کانی‌مافیک است. پلاژیوکلازها اغلب شکل دار و گاه نیمه‌شکل دار هستند و افزون بر این ماکل

## ۲-۲. دیبوریت تا دیبوریت‌های کوارتزدار

این سنگ‌ها بافت گرانولار و پوپی کلیتیک نشان می‌دهند و ترکیب کانی‌شناسی آنها در بردارنده بلورهای پلاژیوکلاز، پیروکسن، آلکالی فلدسپار، ترمولیت - اکتینولیت، کوارتز، اپیدوت و کلریت است. بلورهای پلاژیوکلاز شکل دار تا نیمه‌شکل دار گاهی ماکل پلی‌سنتمیک و زونینگ نوسانی نشان می‌دهند، از جایگزین شده‌اند. کوارتز با خاموشی موجی و با بلورهای شکل دار تا نیمه شکل دار از دیگر کانی‌های سنگ است که به ندرت اولیه و گاه ثانویه نظیر کلریت و بیوتیت این سنگ‌ها اغلب شامل ریز بلورهای پلاژیوکلاز، آلکالی فلدسپار و پیروکسن بوده که بیشتر مورد تجزیه قرار گرفته و به کانی‌های رسی و بیوتیت و کلریت تبدیل شده است. کانی‌های ثانویه شامل سرسیت، کلریت، بیوتیت، کانی‌های رسی، کانی‌های کدر است (شکل ۳).

این سنگ‌ها کانی‌های رسی تجزیه شده‌اند. کانی‌های مافیک از نوع کلینوپیروکسن کلریت و کانی‌های رسی تجزیه شده‌اند. کانی‌های مافیک از دست داده و گاه به هستند، بلورهای اوژیت تا حدودی شکل ابتدایی خود را از دست داده و گاه به کلریت و اپیدوت و گاه به ترمولیت - اکتینولیت تبدیل شده‌اند. کانی‌های ثانویه شامل کلریت، اپیدوت، کانی‌های رسی، ترمولیت - اکتینولیت، و ژئولیت هستند (شکل‌های ۴ و ۵).

مونزونیت، آلکالی گرانیت و به ندرت تونالیت، کوارتز سینیت و دایک دیبازی نفوذ کرده در آنها در مرز محدوده سینوگابرو و مونزونگابرو جای گرفته و در نمودار (1983) Debon & Lefort این نمونه‌ها بیشتر در محدوده مونزونیت کوارتزدار، سینیت کوارتزدار، گرانیت و دایک دیبازی نیز در محدوده مونزونگابرو جای گرفته‌اند (شکل‌های ۹-الف و ب).

#### ۴-۴. تعیین سری ماقمایی توده‌های نفوذی شمال باختر تاکستان

در نمودار (1971) Irvine & Bargar که بر اساس  $\text{SiO}_2/\text{Na}_2\text{O} + \text{K}_2\text{O}$  بینان شده است بیشتر نمونه‌ها در محدوده ساب‌آلکالن، و برخی از آنها در مرز ساب‌آلکالن و آلکالن جای گرفته‌اند، نمونه دایک دیبازی دارای سرشت آلکالن است، در نمودار مثاثی AFM (Irvine & Baragar, 1971) همه نمونه‌ها سرشت کالکوآلکالن نشان می‌دهند و نزدیکی برخی از آنها به محدوده A می‌تواند ناشی از دگرسانی‌های رخ داده در منطقه و گاه تغییرات کانی‌شناسی باشد که سبب افزایش عنصر آلکالن شده است در نمودار (1976) Peccerillo & Taylor بیشتر نمونه‌ها در قلمرو سری شوشومنیتی و به ندرت کالکوآلکالن پتابسیم بالا جای دارند (شکل‌های ۱۰-الف، ب و ب).

#### ۴-۵. نمودارهای تغییرات شیمیایی (variation diagram)

در این نمودارها که بر مبنای عنصر اصلی در برابر  $\text{SiO}_2$  بینان شده‌اند، برخی عنصر از جمله  $\text{Fe}_{2}\text{O}_3$  و  $\text{MgO}$  و  $\text{CaO}$  روند کاهشی و برخی دیگر از جمله  $\text{K}_2\text{O}$  و  $\text{Na}_2\text{O}$  و  $\text{Al}_2\text{O}_3$  روند افزایشی نشان می‌دهند که می‌توان به سادگی آنها را به تفرقی ماقمایی و در برخی مواد به دگرسانی‌های رخ داده در توده‌های گرانیتوییدی تاکستان نسبت داد (شکل ۱۱).

#### ۶-۳. تعیین محیط زمین‌ساختی- ماقمایی توده‌های گرانیتوییدی تاکستان بر اساس عناصر اصلی

در مدل‌های ارائه شده توسط Pearce et al. (1984) که با استفاده از ژئوشیمی عناصر کمیاب بینان شده‌اند از جمله نمودارهای Rb-Y+Nb و Nb-Y و Rb-Y نمونه‌های تاکستان در محدوده گرانیتوییدهای کمان آتشفشاری و فقط در یک مورد با تمایل کمی به سوی گرانیتویید درون ورقه‌ای (WPG) و در نمودار Rb-Ta+Yb بیشتر در محدوده گرانیتوییدهای کمان آتشفشاری (VAG) و به ندرت در محدوده گرانیتوییدهای برخورداری (CCG) و در نمودار Ta-Yb در محدوده گرانیتوییدهای کمان آتشفشاری (VAG) جای گرفته‌اند (شکل ۱۲).

نمودارهای Pearce (1996) نمودارهای پیشین خود را اصلاح کرده و محدوده گرانیتوییدهای پس از برخورد (Post-COLG) را در محل برخورد Syn-COLG, WPG, VAG مشخص می‌نماید. بر این اساس همه نمونه‌های مورد مطالعه در نمودارهای یاد شده در محدوده گرانیتوییدهای پس از برخورد جای می‌گیرند. در روش محاسباتی (1995) Agrawal که بر مبنای تحلیل چند متغیره روی اکسیدهای عناصر اصلی سنگ‌ها و با استفاده از معادله  $R1 = (D1-C1)/(M1-C1)$  انجام می‌گیرد، چون R1 همیشه بزرگ‌تر از صفر است، بنابراین گرانیتوییدهای تاکستان از نوع کوهزایی هستند. وی برای تمايز گرانیتوییدهای کوهزایی تأخیری (Late Orogenic Granitoides) از رابطه  $(Post Orogenic Granitoides) = (R2-C2)/(M2-C2)$  استفاده کرده است، چون در گرانیتوییدهای تاکستان R2 همیشه بزرگ‌تر از صفر است، بنابراین این گرانیتوییدها از نوع کوهزایی تأخیری هستند (جدول ۲).

#### ۷-۳. تعیین محیط زمین‌ساختی گرانیتوییدهای شمال باختر تاکستان بر اساس نمودارهای عنکبوتی

- نمودار بهنجار شده توده‌های گرانیتوییدی تاکستان با گندرهیت (Sun & McDonough, 1989)؛ بر اساس الگوهای به دست آمده از بهنجارسازی گرانیتوییدهای شمال باختر تاکستان اعم از نمونه‌های دارای ترکیب میانه تا اسیدی،

این سنگ‌ها بافت گرانولار تا میکرو گرانولار، پویی کلیتیک و گاهی میرمکیتی نشان می‌دهند و ترکیب کانی‌شناسی آنها دربردارنده پلاژیوکلاز، آلکالی فلدسپار، کلینوپیروکسن، کانی‌های رسی، کربنات و کمی کوارتز است. بلورهای پلاژیوکلاز با ماکل پلی‌ستنتیک از فراوانی پرخوردارند و حاشیه آنها به آلتیت تبدیل شده است. آلکالی فلدسپارها بیشتر به کانی‌های رسی تبدیل شده‌اند. کلینوپیروکسن نوع اوژیت اغلب کلریتی شده و گاهی فقط قالب‌هایی از آن باقی مانده که با اکسید آهن مگنتی و هماتیتی پر شدگی نشان می‌دهد. تک بلور پیروکسن تا حدودی کلریتی شده نیز درون پلاژیوکلاز دیده می‌شود که نشان دهنده بافت پویی کلیتیک و تقدم تبلور پیروکسن بر پلاژیوکلاز است. در بعضی از سنگ‌نیز بافت میرمکیتی دیده می‌شود که نتیجه هم رشدی کوارتز و آلکالی فلدسپار است. کانی‌های ثانویه شامل کربنات، کلریت، کانی‌های رسی و کانی‌های کدر (هماتیت و مگنتیت) هستند. کانی فرعی آپاتیت است که درون پلاژیوکلاز تبلور یافته است (شکل ۶).

#### ۲-۴. میکرو دیوریت تا دیوریت

این سنگ‌ها بافت پورفیری - میکرو گرانولار تا گرانولار نشان می‌دهند و ترکیب کانی‌شناسی آنها دربردارنده پلاژیوکلاز، کلینوپیروکسن، آمفیبول، کلریت، سریسیت، کانی‌های رسی است. پلاژیوکلازاها از شکل‌دار تا بی‌شکل در تغییر هستند، گاهی ماکل پلی‌ستنتیک نشان می‌دهند و گاهی به کانی‌های رسی (کلریت و سریسیت) تجزیه شده‌اند. کلینوپیروکسن‌ها به کلریت و آمفیبول نوع ترمولیت-اکتینولیت تجزیه شده‌اند، این کانی‌ها گاهی اورالیتی شده و با کلریت و اکسید آهن نیز جایگزین شده‌اند. کانی‌های مافیک سنگ گاهی با اکسید آهن و کانی‌های کدر جایگزین شده‌اند. دگرسانی‌های رسی - سریسیتی - کلریتی - هماتیت در سنگ مشاهده می‌شوند. کانی‌های ثانویه شامل کانی‌های کدر، کلریت، اکسید آهن (هماتیت و مگنتیت)، کانی‌های رسی و سرپانتین هستند.

#### ۳- سنگ‌شناسی و ژئوشیمی

۱۰ نمونه از سنگ‌های توده گرانیتوییدی مورد مطالعه در کشور کانادا توسط شرکت ALs مورد تجزیه شیمیایی به روش ICP-MS قرار گرفته‌اند که نتایج آن در جدول ۱ دیده می‌شود و مباحث سنگ‌شناسی و ژئوشیمی بر مبنای این داده‌ها پایه‌ریزی شده‌اند، در زیر به شرح مختصر نتایج یادشده پرداخته می‌شود:

#### ۳-۱. رده‌بندی توده‌های گرانیتوییدی شمال باختر تاکستان با استفاده از نمودارهای TAS

این نمودارها بر اساس مجموع عناصر آلکالن ( $\text{Na}_2\text{O} + \text{K}_2\text{O}$ ) به سیلیس ( $\text{SiO}_2$ ) بینان شده‌اند. در نمودار (Cox et al., 1979) این نمونه‌های گرانیتوییدی بیشتر در محدوده مونزونیت و گرانیت و سینیت آلکالن و به ندرت در محدوده مونزونیت ساب‌آلکالن و دایک میکروگابروی نفوذ کرده در آنها نیز در محدوده گابرو جای می‌گیرد. در نمودار (Middlemost 1994) این نمونه‌ها در محدوده کوارتز مونزونیت، کوارتز آلکالی فلدسپار سینیت و به ندرت در محدوده کوارتز سینیت، کوارتز مونزونیت و گرانیت جای گرفته و دایک دیبازی نفوذ کرده در آنها در خارج از نمودار در محدوده نزدیک به مونزونیت جای گرفته است (شکل‌های ۷-الف و ب).

#### ۳-۲. رده‌بندی توده‌های گرانیتوییدی شمال باختر تاکستان بر اساس کانی‌های نورم و نمودار (Streckeisen & Le Maitre, 1971)

در این نمودار نمونه‌های گرانیتوییدی بیشتر در محدوده کوارتز مونزونیت، کوارتز مونزونیت و بندرت کوارتز مونزونگابرو، مونزونگابرو، مونزونیت و در دو مورد به علت دگرسانی در محدوده آلکالی فلدسپار گرانیت جای گرفته‌اند (شکل ۸).

#### ۳-۳. رده‌بندی توده‌های گرانیتوییدی باختر تاکستان با استفاده از کاتیون‌ها در نمودار Dela Roche et al. (1980)

در نمودار این نمونه‌ها بیشتر در محدوده‌های کوارتز می‌باشند.

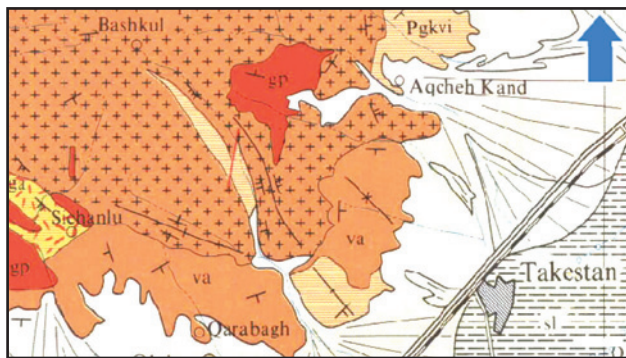
غنى شدگی از خاکهای کمیاب سبک (LREE) نسبت به خاکهای کمیاب سنگین (HREE) از جمله Yb, Lu, Tm را نشان می‌دهند. بی‌هنجاری منفی و ناچیز عنصر Eu افزون بر این که نشان‌دهنده حاکم بودن شرایط احیایی در ماگما است، ورود این عنصر دو ظرفیتی به ساختمان فلذسپارها بهویژه پلازیوکلازها را نشان می‌دهد. به عبارت دیگر تکیک بلوری پلازیوکلاز در ماگما می‌تواند موجب این بی‌هنجاری منفی شده باشد.

همان گونه که در شکل ۱۳ دیده می‌شود الگوی دایک دیبازی بهنجار شده با کندریت مشابه الگوی سنگ‌های گرانیتوییدی است، بنابراین به احتمال زیاد از یک منشأ گوشه‌بهایی با درصد ذوب بخشی متفاوت و در یک زمان متفاوت حاصل شده‌اند.

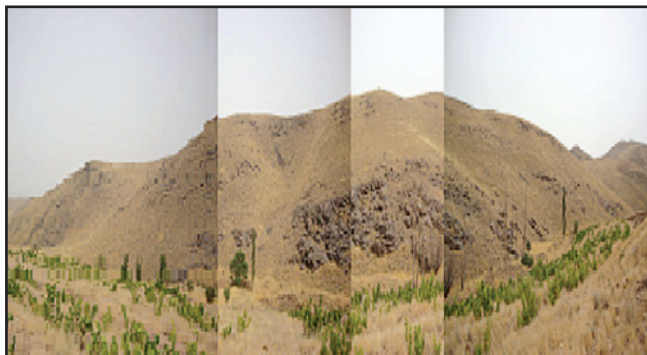
**- الگوی بهنجار شده گرانیتوییدهای تاکستان با ORG :** (Pearce et al., 1984) بر اساس این الگوی سنگ‌های گرانیتوییدی تاکستان اعم از دیبوریت تا گرانودیبوریت غنى شدگی از عناصر LILE (Rb, Ba) HFS (Nb, Zr) و عناصر خاکی کمیاب سنگین (HREE) مانند Yb و Y نشان می‌دهند، به عبارت دیگر بیشتر عناصر (LILE) بالاتر از خط استاندارد ۱ جای گرفته‌اند که بیانگر غنى شدگی این عناصر نسبت به ORG است. شبیع عمومی منفی که از سوی عناصر LILE ناسازگار به سوی عناصر HREE سازگار دیده می‌شود نشان دهنده درصد ذوب بخشی کم مگمای اویله و باقی ماندن گارت در گوشته است. الگوی بهنجار شده سنگ‌های گرانیتوییدی تاکستان مشابه الگوی گرانیتوییدهایی است که در محیط مشابه با گرانیتوییدهای کمان‌های ماگمایی (VAG) تشکیل شده‌اند. بی‌هنجاری مثبت عناصر K, Rb, در این گرانیتوییدها نیز نشان دهنده مشابه آنها با گرانیتوییدهای محیط‌های فرورانش است (Sajona et al., 1996)؛ همان گونه که بی‌هنجاری منفی Nb موجود در این سنگ‌ها را (Wilson 1989) به تشکیل آنها در محیط‌های فرورانش نسبت می‌دهد (شکل ۱۴).

#### ۴- نتیجه‌گیری

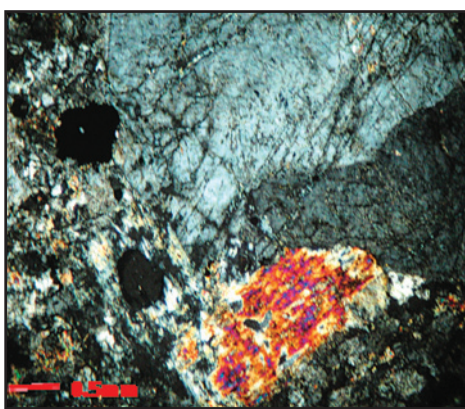
توده‌های نفوذی رخنمون یافته در شمال باخته تاکستان در مطالعات سنگنگاری و ژئوشیمیایی دارای ترکیب گرانیت، گرانودیبوریت، تونالیت، دیبوریت، مونزودیبوریت، کوارتزسینیت، کوارتزمونزودیبوریت، موژونیت و کوارتز موژونیت هستند و دایک نفوذی که در آنها دارای ترکیب سینوگابرو و مونزوگابرو است. در نمودارهای تغییرات شیمیایی که بر مبنای عناصر اصلی در برابر  $\text{SiO}_2$  بینان شده‌اند، عناصر  $\text{Fe}_2\text{O}_3$ ,  $\text{MgO}$ ,  $\text{CaO}$ ,  $\text{Al}_2\text{O}_3$ ,  $\text{NaO}_2$ ,  $\text{K}_2\text{O}$  و عناصر روند کاهاشی و در برخی افزایشی نشان می‌دهند که می‌توان به سادگی آنها را به تفرقی ماگمایی و در برخی موارد به دگرسانی‌های رخ داده در این سنگ‌ها نسبت داد. این توده‌های گرانیتوییدی سرشت کالکوآلکان، کالکوآلکان غنی از پتاسیم، و شوшуونیت نشان می‌دهند که می‌تواند ناشی از افزایش پتاسیم حاصل از دگرسانی باشد. محیط زمین ساختی این توده‌ها بر اساس ژئوشیمی عناصر اصلی محدوده‌های بعد از برخورد و بالا‌آمدگی پس از برخورد و همچنین محیط‌های برخوردی (IAG +CAG +CCG)، و بر اساس ژئوشیمی عناصر کمیاب، گرانیتوییدهای کمان آتشفسانی (VAG) و گرانیتوییدهای برخوردی (VAG+ syn + COLG) بهویژه گرانیتوییدهای پس از برخورد (Post collision Granitoind) را نشان می‌دهد. بر اساس الگوهای به دست آمده از بهنجارسازی با کندریت (Sun & McDonough, 1989)، سنگ‌های گرانیتوییدی تاکستان غنى شدگی از خاکهای کمیاب سبک (LREE) مانند La,Ce,Pr نشان می‌دهند. بی‌هنجاری منفی و ناچیز Eu افزون بر این که نشان‌دهنده حاکم بودن شرایط احیایی در ماگما است، ورود این عنصر دو ظرفیتی به ساختمان فلذسپارها بهویژه پلازیوکلازها را نشان می‌دهد. الگوی بهنجار شده این گرانیتوییدها با



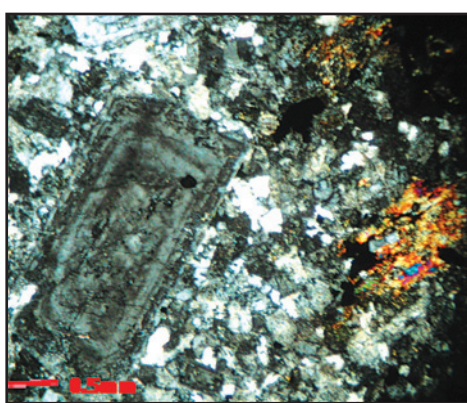
شکل ۱- موقعیت توده‌های گرانیتوییدی شمال باخته تاکستان (واحد gp) با ترکیب ریولیت پورفیری (Annels et al., 1985) در نقشه ۱:۲۵۰۰۰ قزوین-رشت.



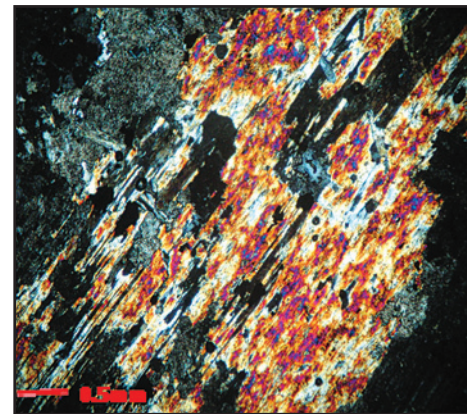
شکل ۲- نمایی از توده نفوذی گرانیتوییدی شمال باخته تاکستان (جنوب روستای قلعه سرهنگ) که در اطراف آن تحت تأثیر محلول‌های گرمایی، دگرسانی رخ داده است (نگاه به سوی باخته).



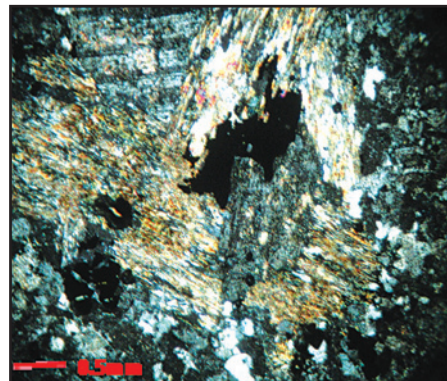
شکل ۳- بافت گرانولار، رشد بلورهای پلازیوکلاز و پیروکسن در گرانودیبوریت (بزرگنمایی ۴× و در نور XPL).



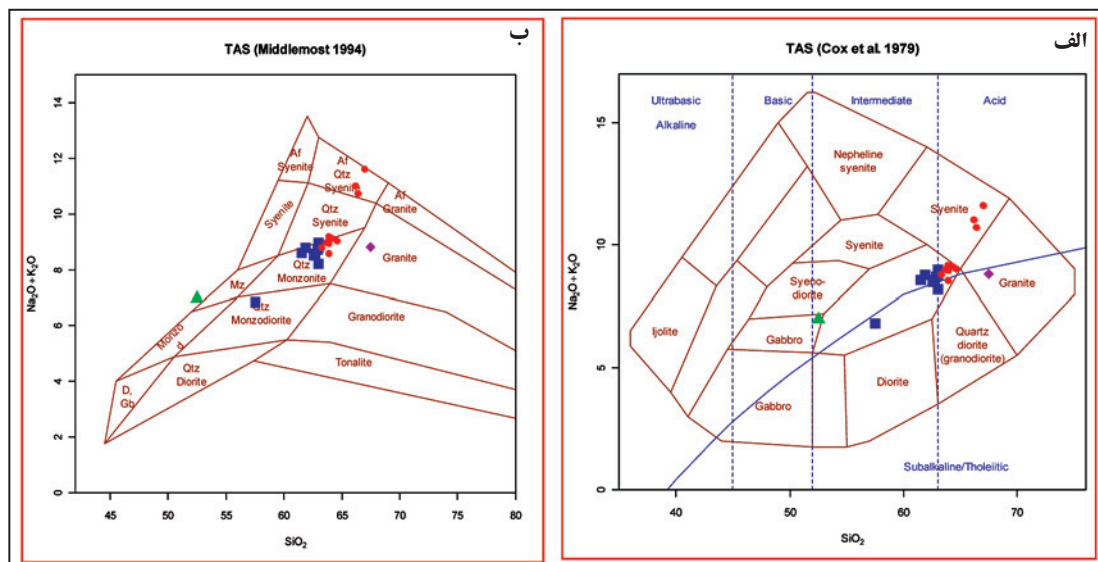
شکل ۵- درشت بلور پلازیو کلارز با زونینگ نوسانی در دیوریت کوارتزدار (بزرگنمایی  $\times 4$  و در نور (XPL).



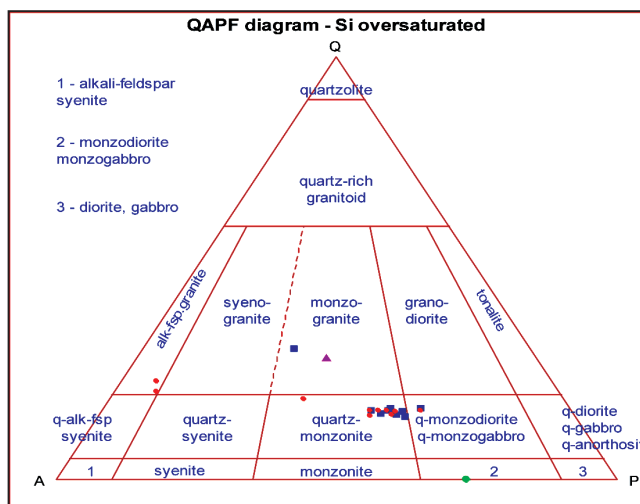
شکل ۴- جایگزینی بخش‌هایی از کلینوپیروکسن با کانی‌های کدر (کسید آهن) در دیوریت (بزرگنمایی  $\times 4$  و در نور (XPL).



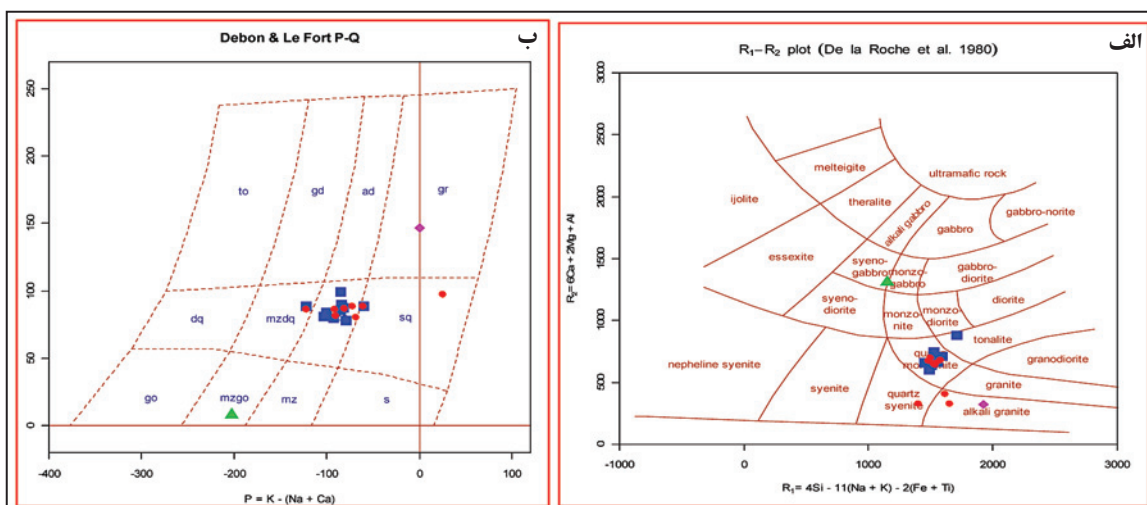
شکل ۶- تجزیه کلینوپیروکسن به ترمولیت-اکتیولیت و تبدیل بخش‌هایی از آن به اورالیت، در مونزودیوریت (بزرگنمایی  $\times 4$  و در نور (XPL).



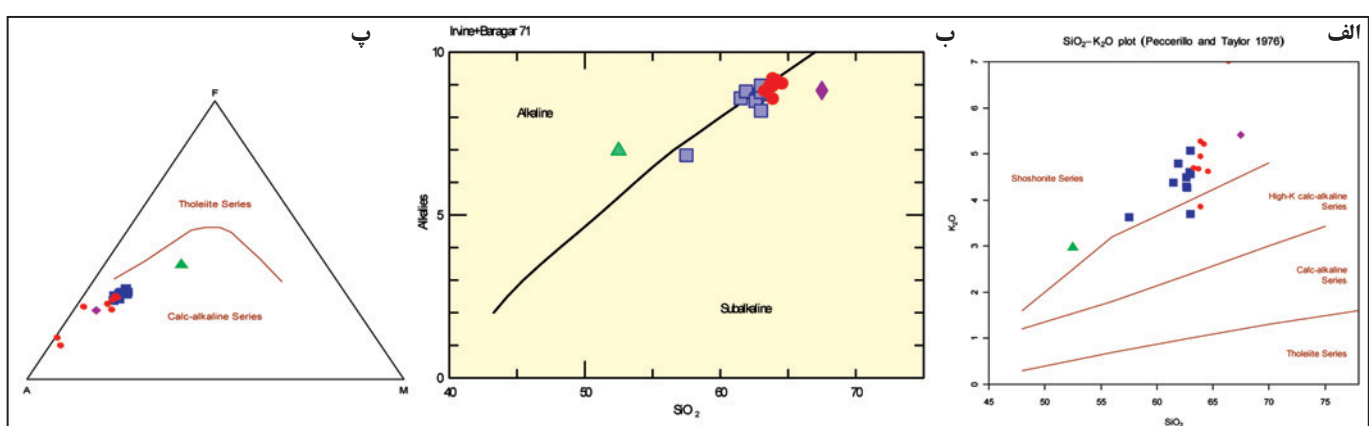
شکل ۷- رده‌بندی توده‌های نفوذی تاکستان بر اساس (Middlemost 1994) و Cox et al. (1979).



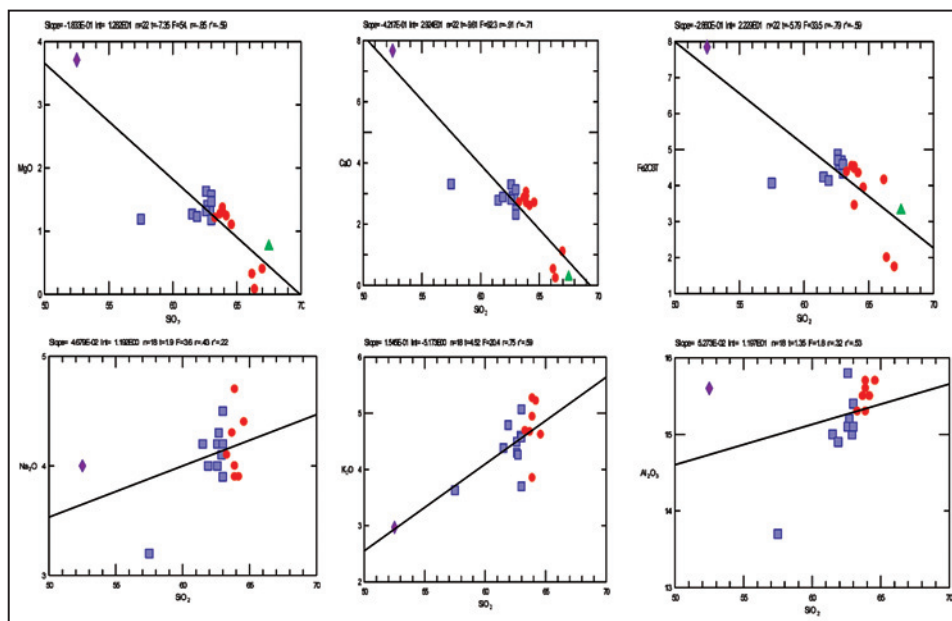
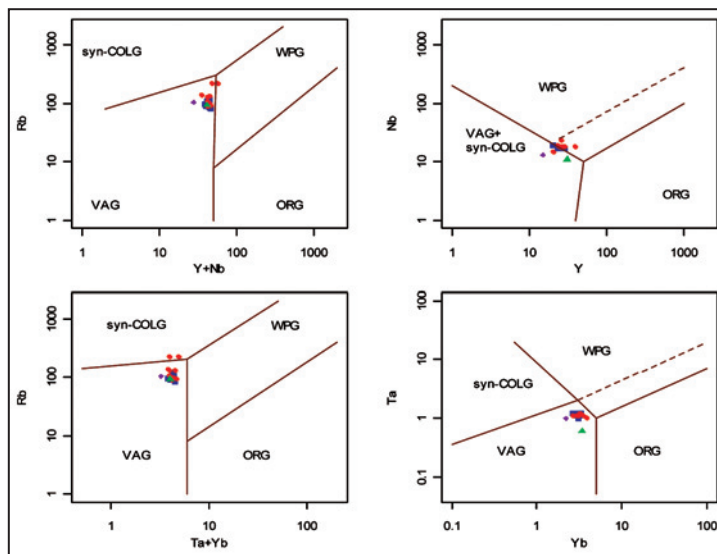
شکل ۸- ردیابی توده‌های نفوذی تاکستان بر اساس کانی‌های نورم  
. (Streckeisen & Le Maitre, 1971)



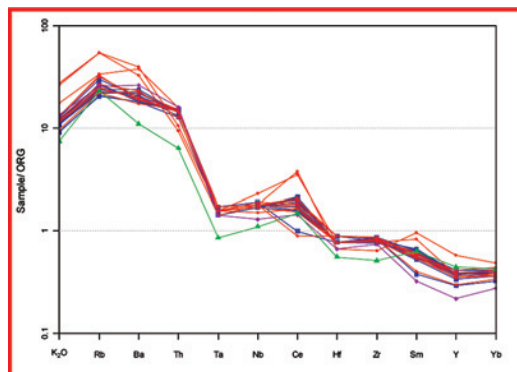
شکل ۹- موقعیت نمونه‌های گرانیتوییدی در نمودار Debon & Lefort (1983) و Dela Roche et al. (1980)



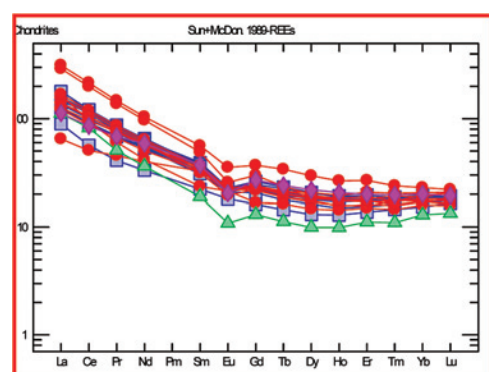
شکل ۱۰- موقعیت نمونه‌های گرانیتوییدی تاکستان در نمودار دوتایی (Irvine & Bargar, 1971) و نمودار دوتایی و مثلثی (Peccerillo & Taylor, 1976)

شکل ۱۱- روند کاهشی  $\text{SiO}_2$  در برابر  $\text{Al}_2\text{O}_3$ ,  $\text{Na}_2\text{O}$ ,  $\text{K}_2\text{O}$  و روند افزایشی  $\text{Al}_2\text{O}_3$ ,  $\text{Na}_2\text{O}$ ,  $\text{Fe}_2\text{O}_3$ ,  $\text{CaO}$ ,  $\text{MgO}$  و  $\text{Rb}$ 

شکل ۱۲- موقعیت محیط زمین ساختی گرانیتوییدهای تاکستان در نمودارهای Pearce et al. (1984)



شکل ۱۴- الگوی بهنجار شده توده‌های گرانیتوییدی تاکستان (مربع آبی دیوریت، دایره سرخ = گرانودیوریت، لوزی = گرانیت، مثلث سبز = دایک دیابازی) با (Pearce et al., 1984) ORG



شکل ۱۳- الگوی بهنجار شده توده‌های گرانیتوییدی تاکستان (مربع آبی = دیوریت، دایره سرخ = گرانودیوریت، لوزی = گرانیت، مثلث سبز = دایک دیابازی) با (Sun &amp; McDonough, 1989)

جدول ۱- نتایج تجزیه شیمیایی توده‌های گرانیتوییدی شمال باختر تاکستان.

| Samples                          | G.22.G | G.2.G | G.3.G | G.5.G | G.6.G | G.7.G | G.9.G | G.10.G | G.12.G | G.13.G |
|----------------------------------|--------|-------|-------|-------|-------|-------|-------|--------|--------|--------|
| SiO <sub>2</sub>                 | 52.5   | 63.9  | 70.2  | 62.6  | 64.6  | 57.5  | 63    | 63.9   | 64.2   | 63.9   |
| Al <sub>2</sub> O <sub>3</sub>   | 15.6   | 15.3  | 12.9  | 15.8  | 15.7  | 23.7  | 15.4  | 15.7   | 15.5   | 15.6   |
| CaO                              | 7.67   | 2.7   | 0.12  | 3.3   | 2.7   | 3.31  | 2.46  | 3.05   | 2.6    | 2.91   |
| Fe <sub>2</sub> O <sub>3</sub> T | 7.85   | 4.47  | 1.51  | 4.87  | 3.94  | 4.07  | 4.35  | 4.53   | 4.35   | 3.45   |
| FeO                              | 4.16   | 2.37  | 0.80  | 2.58  | 2.09  | 2.15  | 2.30  | 2.40   | 2.30   | 1.83   |
| Fe <sub>2</sub> O <sub>3</sub>   | 3.69   | 2.10  | 0.71  | 2.29  | 1.85  | 1.92  | 2.05  | 2.13   | 2.05   | 1.62   |
| K <sub>2</sub> O                 | 2.97   | 4.94  | 10.6  | 4.3   | 4.62  | 3.63  | 4.57  | 5.27   | 5.22   | 3.85   |
| MgO                              | 3.71   | 1.37  | 0.39  | 1.63  | 1.1   | 1.19  | 1.47  | 1.3    | 1.24   | 1.31   |
| MnO                              | 0.23   | 0.13  | 0.05  | 0.13  | 0.09  | 0.08  | 0.11  | 0.1    | 0.1    | 0.13   |
| Na <sub>2</sub> O                | 4      | 4     | 0.6   | 4.2   | 4.4   | 3.2   | 4.2   | 3.9    | 3.9    | 4.7    |
| P <sub>2</sub> O <sub>5</sub>    | 0.24   | 0.21  | 0.05  | 0.22  | 0.21  | 0.22  | 0.19  | 0.2    | 0.19   | 0.19   |
| TiO <sub>2</sub>                 | 0.95   | 0.74  | 0.34  | 0.75  | 0.7   | 0.92  | 0.72  | 0.72   | 0.74   | 0.72   |
| Ba                               | 550    | 1160  | 1200  | 1050  | 1100  | 900   | 1190  | 940    | 1000   | 870    |
| Sr                               | 350    | 320   | 80    | 350   | 340   | 340   | 340   | 300    | 300    | 340    |
| Zn                               | 83     | 42    | 579   | 48    | 26    | 67    | 32    | 43     | 50     | 70     |
| Ag                               | 2      | 1     | 2     | 1     | 1     | 5     | 1     | 1      | 1      | 2      |
| Ce                               | 52.3   | 53.9  | 67.2  | 71.9  | 31.1  | 64    | 34.7  | 73.1   | 63.6   | 64.3   |
| Co                               | 20.9   | 5.9   | 3.3   | 13.1  | 5.3   | 5.2   | 3.2   | 6.3    | 9      | 7      |
| Cs                               | 5.1    | 1.4   | 1.1   | 3     | 1.3   | 1.5   | 1.4   | 2.2    | 2.6    | 2.1    |
| Cu                               | 48     | 12    | 24    | 19    | 13    | 30    | 7     | 22     | 27     | 22     |
| Dy                               | 5.56   | 4.64  | 3.45  | 4.78  | 5.26  | 5.28  | 3.31  | 4.95   | 4.46   | 4.31   |
| Er                               | 3.3    | 2.81  | 2.04  | 2.98  | 3.45  | 3.25  | 2.27  | 3.13   | 2.67   | 2.59   |
| Eu                               | 1.18   | 1.26  | 1.04  | 1.32  | 1.22  | 1.32  | 1.05  | 1.32   | 1.13   | 1.29   |
| Ga                               | 17     | 16    | 12    | 17    | 16    | 23    | 16    | 17     | 16     | 17     |
| Gd                               | 5.55   | 4.69  | 3.63  | 5.06  | 4.75  | 5.38  | 3.32  | 4.93   | 4.55   | 4.44   |
| Hf                               | 5      | 7     | 7     | 7     | 8     | 8     | 7     | 7      | 7      | 8      |
| Ho                               | 1.17   | 0.99  | 0.73  | 1.01  | 1.1   | 1.05  | 0.73  | 1.03   | 0.88   | 0.9    |
| La                               | 26.6   | 28.9  | 40.7  | 37.4  | 15.4  | 33.5  | 21.2  | 39.9   | 32.8   | 33.2   |
| Lu                               | 0.49   | 0.46  | 0.38  | 0.47  | 0.53  | 0.47  | 0.42  | 0.52   | 0.41   | 0.46   |
| Nb                               | 11     | 17    | 15    | 17    | 18    | 18    | 19    | 18     | 18     | 19     |
| Nd                               | 27.5   | 23.6  | 22.8  | 30.6  | 18.7  | 29.5  | 15.5  | 29.9   | 27.1   | 27.5   |
| Ni                               | 22     | 7     | 7     | 6     | 6     | 15    | 20    | 7      | 7      | 18     |
| Pr                               | 6.5    | 6.32  | 6.85  | 8.11  | 4.32  | 7.4   | 3.89  | 8.2    | 7.29   | 7.32   |
| Rb                               | 92.5   | 107   | 178   | 95.7  | 90.9  | 83.7  | 94.9  | 131    | 127    | 88.6   |
| Sm                               | 5.7    | 5     | 3.8   | 5.7   | 5     | 6     | 3.4   | 5.6    | 4.8    | 5.1    |
| Sn                               | 2      | 2     | 1     | 1     | 1     | 2     | 1     | 2      | 1      | 1      |
| Ta                               | 0.6    | 1.1   | 1.1   | 1     | 1.1   | 1.2   | 1.2   | 1.2    | 1.1    | 1.1    |
| Tb                               | 0.9    | 0.74  | 0.58  | 0.75  | 0.79  | 0.87  | 0.54  | 0.79   | 0.7    | 0.7    |
| Th                               | 5.1    | 10.2  | 18    | 10.5  | 12.2  | 12.2  | 11.5  | 11.8   | 11.5   | 12.4   |
| Tm                               | 0.5    | 0.45  | 0.35  | 0.47  | 0.52  | 0.46  | 0.37  | 0.44   | 0.4    | 0.44   |
| U                                | 1.31   | 2.92  | 3.69  | 2.62  | 2.9   | 3.04  | 2.45  | 3.45   | 3.3    | 2.99   |
| V                                | 196    | 98    | 30    | 94    | 83    | 123   | 97    | 84     | 77     | 73     |
| Y                                | 31     | 26    | 20    | 27.5  | 28.9  | 27.3  | 20.4  | 27.5   | 24.5   | 24.2   |
| Yb                               | 3.4    | 2.9   | 2.4   | 3.1   | 3.5   | 3.3   | 2.6   | 3.3    | 2.9    | 3.1    |
| Zr                               | 174    | 268   | 257   | 294   | 293   | 270   | 284   | 280    | 265    | 287    |

جدول ۲- نتایج محاسبات R1 برای تعیین گرانیتوییدهای کوهزایی و غیرکوهزایی و همچنین R2 برای تمايز گرانیتوییدهای کوهزایی تأخیری و بعد از کوهزایی از یکدیگر برای توده‌های گرانیتوییدی شمال باختر تاکستان (جنوب قلعه سرهنگ).

| Samples       | D1     | C1    | M1     | R1           | R2           | C2     | M2     | d2     |
|---------------|--------|-------|--------|--------------|--------------|--------|--------|--------|
| <b>G.16.G</b> | -2.527 | 0.292 | -0.490 | <b>3.607</b> | <b>0.281</b> | -0.232 | -1.297 | -0.531 |
| <b>G.5.G</b>  | -3.275 | 0.292 | -0.490 | <b>4.565</b> | <b>0.866</b> | -0.232 | -1.297 | -1.155 |
| <b>G.28.G</b> | -2.761 | 0.292 | -0.490 | <b>3.907</b> | <b>0.341</b> | -0.232 | -1.297 | -0.596 |
| <b>G.17.G</b> | -2.563 | 0.292 | -0.490 | <b>3.654</b> | <b>0.399</b> | -0.232 | -1.297 | -0.657 |
| <b>G.1.G</b>  | -3.636 | 0.292 | -0.490 | <b>5.027</b> | <b>0.833</b> | -0.232 | -1.297 | -1.120 |
| <b>G.9.G</b>  | -2.758 | 0.292 | -0.490 | <b>3.903</b> | <b>0.258</b> | -0.232 | -1.297 | -0.507 |
| <b>G.18.G</b> | -2.053 | 0.292 | -0.490 | <b>3.001</b> | <b>0.153</b> | -0.232 | -1.297 | -0.395 |
| <b>G.13.G</b> | 3.006  | 0.292 | -0.490 | <b>4.220</b> | <b>0.989</b> | 0.232  | 1.297  | 1.285  |

## کتابنگاری

افتخار نژاد، ج، ۱۳۵۹- تفکیک بخش‌های مختلف ایران از نظر وضع ساختمانی در ارتباط با حوزه‌های رسوبی، نشریه انجمن نفت، شماره ۸۲ عالی‌مبابادی، س. و فنودی، م، ۱۳۷۱- نقشه زمین‌شناسی ۱:۱۰۰۰۰۰ تاکستان، انتشارات سازمان زمین‌شناسی و اکتشافاتمعدنی کشور.

نبوی، م.ح، ۱۳۵۵- دیباچه‌ای بر زمین‌شناسی ایران، سازمان زمین‌شناسی و اکتشافاتمعدنی کشور.

## References

- Agrawal, S., 1995-Discrimination between late-orogenic, post orogenic and orogenic granites by major element composition. Journal of Geology, V.103. 529-537.
- Annells, R. S., Arthurton, R. S., Bazley, R. A. B., Davies, R. G., Hamed, M. A. R. & Rahimzadeh, F., 1985- Geological quadrangle map of Qazvin-Rasht (1:250000) Geological Survey of Iran.
- Cox, K. G., Bell, J. D. & Pankhurst, R. J., 1979- the interpretation of igneous rocks. George, Allen and Unwin, London.
- Debon, F. & Lofort, D., 1983- A chemical mineralogical classification of plutonic rocks and associations. Earth science. 73. PP.135-149.
- Dela Roche, H., Leterrier, J., Grande claude, P. & Marchal, M., 1980 - A classification of volcanic and plutonic rocks using  $R_1R_2$  diagrams and major element analyses, its relationship and current nomenclature. Chemical geology, V.29, P.183 – 210.
- Irvine, T. & Baragar, W. R. A., 1971- “A guide to the Chemical classification of the common volcanic rocks” Canadian Journal of earth Science Letters- V.8, pp. 523-548.
- Middlemost, E. A. K., 1994- Naming materials in the magma / igneous rock system. Longman Groun u. k., 73 – 86.
- Pearce, J. A., 1996- Sources and setting of granitic rocks. Episodes, 19, NA, 120 – 125.
- Pearce, J. A., Harris, N. B. W. & Tindle, A. G., 1984 - Trace element discrimination diagrams for the tectonic interpretation of granitic rocks. Journal of Petrology, V. 25, P. 956 – 983.
- Peccerillo, R. & Taylor, S. R., 1976- Geochemistry of Eocene calk – alkaline volcanic rocks from the Kastamonu area, northern Turkey. Contrib. Mineral. Petrol., 58, 63 – 81.
- Sajona, F. G., Maury, R. C., Bellon, H., Cotten, J. & Defant, M., 1996- “ High field strength element enrichment of Pliocene–Pleistocene Island arc basalts, Zamboanga Peninsula, western Mindanao (Philippines) ”. Journal of Petrology 37 (3), 693–726
- Stocklin, J., 1968- Structural history and tectonics of Iran, A review. AAPG Bulletin 52,7:1229-1258.
- Streckeisen, A. L. & Le Maitre, R. W., 1971- A chemical approximation to the modal QAPF classification of igneous rocks. Neues Jahrb. Mineral. Abh., V. 136, P. 169 – 206.
- Sun, S. S. & Mc Donough, W. F., 1989- Chemical and Isotopic Systematics of Ocean Basalts : Implications for Mantle Composition and processes. In: Saunders, A. D, Norry, M. J. (Eds.), magmatism in the Ocean Basins. Geological Society of London Special Publication, 42. Black Well, Oxford, pp. 313 – 346.
- Wilson, M., 1989- Igneous petrogenesis: A Global Tectonic Approach. Unwin and Hyman, London, Uk, 466p.

# Petrology and Geochemistry of Granitoid Rocks in NW of Takestan

M. Foudazi <sup>1\*</sup>, H. Sheikhi Karizaki <sup>2</sup> & M. Qolipour <sup>3</sup>

<sup>1</sup> Assistant Professor, Department of Geology, Islamic Azad University, Islamshahr Branch, Tehran, Iran

<sup>2</sup> Assistant Professor, Department of Geology, Faculty of Basic Sciences, Islamic Azad University, North Tehran Branch, Tehran, Iran

<sup>3</sup> M.Sc., Department of Geology, Faculty of Basic Sciences, Islamic Azad University, North Tehran Branch, Tehran, Iran

Received: 2013 February 04

Accepted: 2013 August 29

## Abstract

The outcropped intrusive bodies in NW of Takestan show a combination of granite, granodiorite, tonalite, monzodiorite, quartz syenite, quartz monzodiorite, monzonite, quartz monzonite, and diorite. The granitoids rocks are calc-alkaline, high-K calc-alkaline, shoshonite, and metaluminous in character. The shoshonite characteristics of these rocks are caused by deformations created by the effect of penetration of hydrothermal solutions, which also increased some of the mobile elements such as potassium. The tectonic environment of these granitoid bodies are determined based on the geochemistry of main elements as collision (of Late Orogenic) and post collision uplift as well as collision (IAG+CAG+CCG) and based on the geochemistry of REE as volcanic arc granitoids, and collision granitoids (VAG+SYN+COLG) specially post collision granitoids. The chondrite normalized spider diagram of granitoid rocks of NW Takestan including samples having intermediate to acidic compositions, are enriched by LREE such as La, Ce, Pr to HREE such as Tm, Yb, Lu. Negative anomaly of Eu shows not only governing of the restoration of the terms in magma, but also display the entrance of the double capacity of this element in feldspar structure especially plagioclase. The normalized pattern of these granitoids with ORG shows their enrichment of LILE specially K, Rb, and Ba against HFSE (Nb & Zr) and HREE such as Y, Yb. This pattern is similar to the granitoid patterns, which are formed by the volcanic arc granitoids (VAG).

**Keywords:** Volcanic Arc Granitoids, Late Orogenic Granitoids, High-K Calc-Alkaline.

For Persian Version see pages 21 to 28

\*Corresponding author: M. Foudazi; E-mail: foudazi.m@gmail.com